

BNKT-BZT 陶瓷的制备和性能研究

张林慧¹, 廖运文^{1,2}, 李伟¹, 姜宁¹, 王文芳¹

(1. 化学合成与污染控制 四川重点实验室, 四川南充 637009; 2. 西华师范大学 应用化学研究所, 四川南充 637009)

摘要:采用传统固相法制备了 $\text{Bi}_{0.5}(\text{Na}_{0.825}\text{K}_{0.175})_{0.5}\text{TiO}_3\text{-Ba}(\text{Ti}_x\text{Zr}_{1-x})\text{O}_3$ (BNKT-BZT) 无铅压电陶瓷。运用 XRD、SEM 等技术表征了陶瓷的晶体结构、形貌、介电和压电性能。研究结果表明, 在所研究的结构范围内, 所有陶瓷样品都形成钙钛矿固溶体。陶瓷晶粒的尺寸随 x 、 y 适当的增大而增大, 压电性能随 x 、 y 的增大先增大后减小, 在 $x=0.05$, $y=0.2$ (摩尔比) 时, 压电常数 $d_{33}=157 \text{ pC/N}$, 介电常数 $\epsilon_r=1510$ 。

关键词:铋钛酸钠;压电陶瓷;钙钛矿结构;压电性能

中图分类号: TN282 文献标识码: A

Preparation and Properties of BNKT-BZT Lead-free Piezoelectric Ceramics

ZHAGN Linhui¹, LIAO Yunwen^{1,2}, LI Wei¹, JIANG Ning¹, WANG Wenfang¹

(1. Key Lab. of Chemical Synthesis and Pollution Control of Sichuan Province, Nanchong 637009, China;

2. Institute of Applied Chemistry, China West Normal University, Nanchong 637009, China)

Abstract: A new lead-free piezoelectric ceramics of $\text{Bi}_{0.5}(\text{Na}_{0.825}\text{K}_{0.175})_{0.5}\text{TiO}_3\text{-Ba}(\text{Ti}_x\text{Zr}_{1-x})\text{O}_3$ (BNKT-BZT) was prepared by conventional ceramic sintering method. The microstructure, surface topography, dielectric and piezoelectric properties were studied by X-Ray diffraction (XRD) and the scanning electron microscope (SEM). The results showed that all the ceramics investigated could form a pure perovskite structure, the grain size were increased with the increase of x and y . The piezoelectricity was increased first then decreased with the increase of x and y . The piezoelectric constant and the dielectric constant of the ceramics were up to the maximum value of 157 pC/N and 1510 respectively at $x=0.05$, $y=0.2$.

Key words: sodium bismuth titanate; piezoelectric ceramics; perovskites structure; piezoelectric properties

0 引言

随着经济飞速发展, 以铅基为主的压电陶瓷材料在材料生产、制备及应用领域占主导地位。但质量分数占 70% 的 PbO 危害陶瓷材料的制备、使用与废弃整个过程^[1]。为与 21 世纪可持续发展的目标和可持续发展战略接轨, 研究开发性能优异的无铅压电陶瓷材料成为研究者急待解决的问题^[2-3]。

$(\text{Bi}_{0.5}\text{K}_{0.5})\text{TiO}_3$ (BKT) 和 $(\text{Bi}_{0.5}\text{Na}_{0.5})\text{TiO}_3$ (BNT) 是一种 ABO_3 型、由 A 位复合取代的钙钛矿型陶瓷材料。因 BNT 剩余极化强度 $P_r=38 \mu\text{C}/\text{cm}^2$ 、居里温度 $T_c=320^\circ\text{C}$ 的特点, 使其成为近几年来备受关注并认为有可能代替 Pb 基压电陶瓷的压电材料之一^[4-6], 但其压电性能并不理想; 而 BKT 陶瓷材料的矫顽场强高 ($E_c=73 \text{ kV/cm}$), 不易极化, 烧结温度范围小, 化学稳定性差, 给生产和使用造成一定难度。进一步的研究发现, BNT 和 BKT 组成

的两元体系具有更优异的压电性能^[7-8], 所以国内、外对 $\text{Bi}_{0.5}(\text{Na}_{0.825}\text{K}_{0.175})_{0.5}\text{TiO}_3$ (BNKT) 的掺杂改性开展了大量研究工作, 研究合成了一系列新型压电陶瓷^[9-14], 对提高 BNKT 陶瓷的压电和介电性能的研究有很大帮助。

本研究对 BNKT 体系进行掺杂改性, 研究了 $\text{Ba}(\text{Ti}_x\text{Zr}_{1-x})\text{O}_3$ 对该体系的陶瓷晶相结构和表面形貌及电学性能的影响。

1 实验过程

1.1 BNKT-BZT 陶瓷的制备

采用传统制备陶瓷工艺, 以氧化物 (Bi_2O_3 、 TiO_2 和 ZrO_2)、碳酸盐 (Na_2CO_3 、 K_2CO_3 和 BaCO_3) 为始料, 按 $(1-x)\text{Bi}_{0.5}(\text{Na}_{0.825}\text{K}_{0.175})_{0.5}\text{TiO}_3\text{-}x\text{Ba}(\text{Ti}_x\text{Zr}_{1-x})\text{O}_3$ (BNKT-BZT) 配比, x 取 $0 \sim 0.08$ (摩尔比); y 取 $0 \sim 0.6$ (摩尔比); 在无水乙醇中研磨, 在 900°C 下将粉体预烧 $1 \sim 2 \text{ h}$ 后造粒, 干

收稿日期: 2012-09-28

基金项目: 四川省科技厅应用基础研究基金资助项目 (2011JY0058)

作者简介: 张林慧(1987-), 女, 河南人, 硕士生, 主要从事无铅压电材料的研究。通信作者: 廖运文(1971-), 男, 重庆人, 教授, 博士, 主要从事无铅压电功能材料的研究, E-mail: liao-yw@163.com。

压成厚约1.3 cm、直径 \varnothing 11.5 mm的生坯片，并在1150~1160 °C下烧结2~3 h得BNKT-BZT陶瓷样品；将陶瓷片表面被银，在约60 °C的硅油中施加一定的电压，极化25~30 min，放置24 h后测其性能。

1.2 BNKT-BZT 陶瓷的结构和性能表征

分别用X线衍射仪(型号:D/MAX Ultima IV)(XRD)和扫描电子显微镜(型号:JSM-6510)(SEM)测陶瓷样品的晶相结构和表面形貌；采用准静态 d_{33} 测量仪(型号:ZJ-3AN)测量 d_{33} ；用精密阻抗分析仪(型号:HP4294A)测量机电耦合系数 k_p ；用精密电桥(型号:TH2816B)测定相对介电常数 ϵ_r 和介电损耗 $\tan \delta$ 。

2 实验结果与讨论

2.1 BNKT-BZT 陶瓷的晶相结构

图1为BNKT-BZT陶瓷样品经1150 °C(保温3 h)的XRD图谱。由图可知，所有的BNKT-BZT陶瓷样品均形成单一的钙钛矿结构，表明在研究范围内， Ba^{2+} 、 Zr^{4+} 完全进入晶格形成固溶体，不影响陶瓷晶相的形成和陶瓷结构的对称性。所有的峰向左(低角度)偏移，且峰强有所改变，表明陶瓷样品的晶格常数发生了变化，晶面间距增大，这些可能是因为 Zr^{4+} 比 Ti^{4+} 的离子半径大(分别是0.087 nm和0.068 nm)^[15]，导致离子取代引起晶格膨胀。同时在47°附近， $x<0.06$, $y<0.4$ 时，隐现双峰，即准同型相界，在相界附近有可能得到压电性能优良的BNKT-BZT陶瓷。

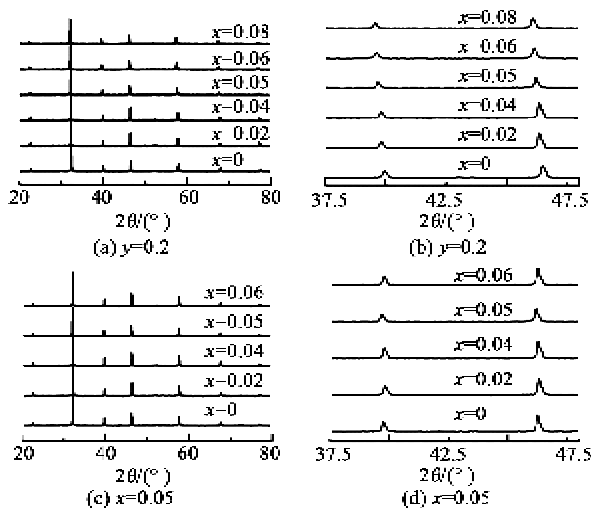


图1 BNKT-BZT陶瓷的XRD图谱

2.2 BNKT-BZT 陶瓷的微观结构

图2为BNKT-BZT陶瓷样品的表面形貌，烧

结温度为1150 °C。由图可见，所有陶瓷样品的晶粒大小均匀(约2 μm)，排列致密，晶界明显，并呈现规则的几何外形。图2(a)、(b)、(c)说明适量BZT的加入，有利于晶粒长大和陶瓷的致密性增强。由图2(d)、(e)可看出，随着 Zr^{4+} 掺杂量的增大，晶粒尺寸逐渐增大，但图2(f)中过多的 Zr^{4+} 抑制陶瓷晶粒的形成。原因可能是 Zr^{4+} 进入晶格内部引起晶格常数改变。当 $x=0.05$, $y=0.2$ 时，陶瓷最致密，晶粒均匀。

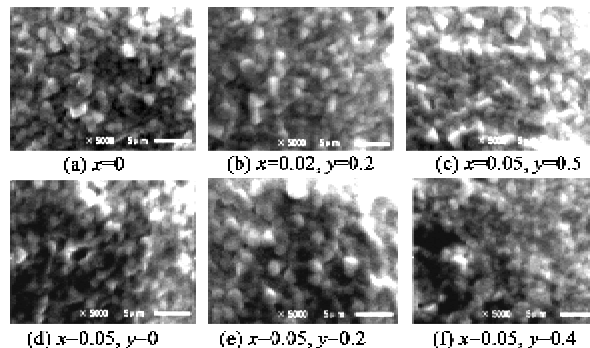


图2 BNKT-BZT系陶瓷的表面形貌图

2.3 BNKT-BZT 陶瓷的电学性能

图3、4为BNKT-BZT陶瓷样品随 x 、 y 变化的压电与介电性能变化图。由图3可知，当 $x<0.05$ 时， d_{33} 随着 x 的增大而增大，随后减小。加入BZT后 k_p 和 Q_m 骤减，继而增大， $x=0.05$ 时， k_p 达到最大值，说明加入适量BZT有利于提高BNKT陶瓷的压电性能；过量时，陶瓷压电性能恶化， Q_m 降低，而 ϵ_r 和 $\tan \delta$ 迅速增大， ϵ_r 最大值为1510, $\tan \delta>0.05$ 。研究表明，基于软性掺杂理论，BZT陶瓷B位的高价态离子 Zr^{4+} 可使 d_{33} 、 ϵ_r 和 $\tan \delta$ 增大，所以适量的BZT有助于提高陶瓷的压电和介电性能^[16]。图3(b)表明，随着 Zr^{4+} 逐渐取代 Ti^{4+} ， d_{33} 和 k_p 都是先增大后减小，当 $y=0.2$ 时， d_{33} 和 k_p 达到最大值，说明少量的 Zr^{4+} 的取代有利于提高压电性能；当 $y\leqslant 0.4$ 时， Zr^{4+} 的含量对 Q_m 的影响不大，但当 $y>0.4$ 时， Q_m 急剧减小； ϵ_r 随着 Zr^{4+} 的取代先急剧增大后缓慢减小， $\tan \delta$ 呈上升趋势。研究表明， Zr^{4+} 化学稳定性较好，且 Zr^{4+} 离子半径比 Ti^{4+} 离子半径大0.021 nm，当 $y<0.2$ 时， Zr^{4+} 完全进入晶格，提高陶瓷的压电性能和介电性能，但随着加入量的增大， Zr^{4+} 不能充分的扩散到晶格中，使 d_{33} 和 ϵ_r 下降^[17]，同时 $\tan \delta$ 增大。因此，在 Ba^{2+} 和 Zr^{4+} 共同作用下，当 $x=0.05$, $y=0.2$ 时，陶瓷的 $d_{33}=157 \text{ pC/N}$, $\epsilon_r=1510$ 。

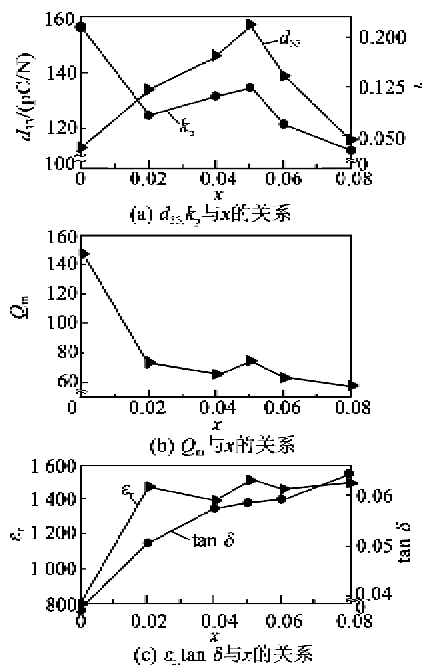


图3 BNKT-BZT陶瓷样品随\$x\$变化的电学性能变化图

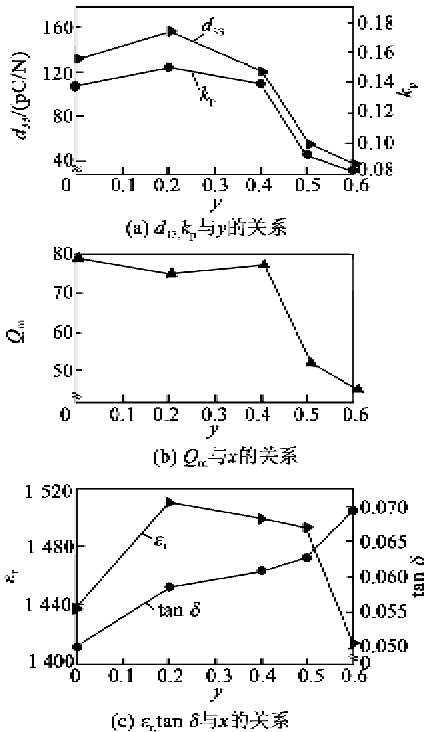


图4 BNKT-BZT陶瓷样品随\$y\$变化的电学性能变化图

3 结束语

采用传统的陶瓷工艺制备了一种新型的\$(1-x)\text{Bi}_{0.5}(\text{Na}_{0.825}\text{K}_{0.175})_{0.5}\text{TiO}_3-\text{Ba}(\text{Ti}_y\text{Zr}_{1-y})\text{O}_3\$无铅压电陶瓷。该陶瓷的晶相为钙钛矿结构,其晶粒致密均匀。随着\$\text{Zr}^{4+}\$的加入量的增大,\$(1-x)\text{Bi}_{0.5}(\text{Na}_{0.825}\text{K}_{0.175})_{0.5}\text{TiO}_3-\text{Ba}(\text{Ti}_y\text{Zr}_{1-y})\text{O}_3\$陶瓷的晶粒

逐渐长大,易极化,陶瓷的压电和介电性能先增大后减小,而\$\text{Ba}^{2+}\$对其介电性能影响很小。因此,BNKT-BZT无铅压电陶瓷一定程度上改善了BNKT陶瓷难极化的问题,同时提高了该陶瓷的压电和介电性能。

参考文献:

- [1] THOMAS R, SHROUT P, SHUJUN J, ZHANG S J. Lead-free piezoelectric ceramics: Alternatives for PZT [J]. *J Electroceram*, 2007, 19: 111-124.
- [2] LIU W F, REN X B, ZHU J G. Large piezoelectric effect in pb-free ceramics [J]. *Physical Review Letters*, 2009, 103: 7602.
- [3] TSURUMI T, HOSHINA T, TAKEDA H, et al. Problems and future of lead-free piezoelectric material [J]. *Materials Integration*, 2011(12): 62-72.
- [4] 毛丽君, 廖运文, 蒲红玉, 等. \$\text{[Bi}_{0.5}(\text{Na}_{1-x}\text{K}_x\text{Ag}_y)_{0.5}]_{1-x}\text{Ba}_x\text{TiO}_3\$系压电陶瓷研究[J]. 压电与声光, 2011, 33(5): 815-818.
- [5] MAO Lijun, LIAO Yunwen, PU Hongyu, et al. Research progress in applications of \$\text{[Bi}_{0.5}(\text{Na}_{1-x}\text{K}_x\text{Ag}_y)_{0.5}]_{1-x}\text{Ba}_x\text{TiO}_3\$ piezoelectric ceramics [J]. *Piezoelectrics & Acoustooptics*, 2011, 33(5): 815-818.
- [6] LIN Dunmin, KWOK K W. Ferroelectric properties of \$\text{[(Bi}_y\text{La}_{0.12}\text{Na}_{1-x}\text{Li}_x)_{0.5}]_{1-x}\text{Ba}_{0.08}\text{TiO}_3\$ lead-free ceramics [J]. *Journal of Materials Science*, 2009, 44(18): 4953-4958.
- [7] ZHEN G B Y, VLADIMIR D K, BINU K M. Microstructure and properties of lead-free \$(\text{Bi}_{1/2}\text{Na}_{1/2})\text{TiO}_3\$ based piezoelectric ceramics doped with different cations [J]. *J Mater Sci*, 2007, 42(10): 3544-3551.
- [8] PANDA P K. Review: environmental friendly lead-free piezoelectric materials [J]. *J Mater Sci*, 2009(44): 5049-5062.
- [9] YAN H G, XIAO D Q, YU P, et al. The dependence of the piezoelectric properties on the differences of the A-site ions and B-site ions for \$(\text{Bi}_{1-x}\text{Na}_x)\text{TiO}_3\$-based ceramics [J]. *Materials & Design*, 2005(26): 474-478.
- [10] 刘育芳,廖运文,毛丽君,等. \$\text{Bi}_{0.5}(\text{Na}_{0.8}\text{K}_{0.2})_{0.5}\text{TiO}_3-(\text{Bi}_{1-y}\text{La}_y)\text{FeO}_3\$压电陶瓷的制备和性能[J]. 压电与声光, 2011, 33(6): 964-967.
- [11] LIU Yufang, LIAO Yunwen, MAO Lijun, et al. Preparation of \$\text{Bi}_{0.5}(\text{Na}_{0.8}\text{K}_{0.2})_{0.5}\text{TiO}_3-(\text{Bi}_{1-y}\text{La}_y)\text{FeO}_3\$ lead-free piezoelectric ceramics [J]. *Piezoelectric & Acoustooptics*, 2011, 33(6): 964-967.
- [12] 陈小明,廖运文,王怀平,等. BNKT无铅压电陶瓷的制备与电学性能[J]. 压电与声光, 2011, 33(1): 147-150.
- [13] CHENG Xiaming, LIAO Yunwen, WANG Huiping, et al. Preparation and electric properties of BNKT lead-free piezoelectric ceramics [J]. *Piezoelectric & Acoustooptics*, 2011, 33(1): 147-150.

(下转第733页)